

طراحی بهینه پیوننده خط شاخه‌ای با تطبیق امپدانس

همایون عریضی و جمال حامدفر

اصلًا دو نوع پیوننده جهتی برای مدارات میکرواستریپ موسوم به پیوننده جهتی خط پیونیده و پیوننده جهتی خط شاخه‌ای طراحی و ساخته می‌شود، که دارای دو ویژگی هستند: یعنی دو دهانه خروجی شان مجزا بوده و دارای اختلاف فاز ۹۰ درجه می‌باشند.

پیونندهای خط پیونیده از نوع پیونندهای ضعیف است و دارای پیوندی کوچکتر از 8 dB می‌باشد. برای خطوط انتقال شبه TEM مانند خطوط میکرواستریپ، ایجاد پیوندی قوی بین خطوط (بصورت نوارهای هادی) مشکل است، زیرا فاصله بین نوارهای هادی باید نسبت به طول موج بسیار کوتاه باشد. پیونندهای خط پیونیده پاد جهتی یا موج پسرونده بوده و دارای دو ضعف عده می‌باشد. اولاً، پیوندی بزرگتر از 8 dB نمی‌توان از آنها به دست آورد، زیرا پهنای نوارهای هادی و فاصله بین آنها محدود است. ثانیاً، به علت تفاوت بین سرعت فاز مودهای زوج و فرد، سمتگرائی (D) پیوننده بشدت کاهش می‌یابد. از سوی دیگر، مزیت جالب پیوننده خط پیونیده پهنای باند فرانکنسی وسیع قابل حصول آن می‌باشد.

از سوی دیگر، پیوننده خط شاخه‌ای از نوع پیونندهای قوی است و می‌تواند بعنوان تقسیم‌کننده توان عمل کند و حتی پیوندی برابر 3 dB ایجاد کند. آنها از نوع پیونندهای هم جهت و یا موج پیشرونده هستند و عموماً دارای پیوندی قوی می‌باشند. مشخصات قابل حصول پیوننده خط شاخه‌ای عکس مشخصات پیوننده خط پیونیده است. ضعف اساسی پیوننده خط شاخه‌ای پهنای باند محدودش می‌باشد. مثلاً، پیوننده دارای حداقل پهنای باند 15 dB درصد برای پیوند 3 dB در دهانه‌ای خروجی و پیونیده بوده و دارای حداقل پهنای باند 10 dB درصد برای دهانه خروجی و مجزا و برگشتی (در رودی) می‌باشد. بنابراین، امپدانس مشخصه نامناسب و محدود قابل تحقق توسط نوارهای هادی و پهنای باند فرانکنسی باریک (کمتر از 20 dB) از معایب پیوننده خط شاخه‌ای است. حداقل پهنای باند قابل حصول برای نوع جدیدی از آن موسوم به پیوننده سه شاخه‌ای در حدود 35 dB درصد می‌باشد [۱].

طول شاخه‌های پیوننده خط شاخه‌ای معمولاً برابر ربع طول موج ($\lambda/4$) فرانکنس مرکزی اختیار می‌شود که باعث بزرگ شدن اندازه آن خصوصاً در فرانکنسهای پایین می‌شود. حتی در فرانکنس 10 \AA گیگاهرتز اندازه پیوننده خط شاخه‌ای برای مدارات مجتمع یک پارچه میکروویو بیش از حد بزرگ است. پیوننده خط شاخه‌ای بینتر برای تحقق پیوند قوی (مانند 3 dB مناسب است. ولی این پیونندها را می‌توان برای پیوند ضعیف نیز به کار برد. در این حالت اندازه امپدانس شاخه‌های موازی بین دو خط اصلی بیش از حد بزرگ شده (یعنی پهنای نوار بیش از حد باریک می‌شود) و نمی‌تواند برای خطوط انتقال میکرواستریپ بسهولت محاسبه و ساخته شود. (یک پیوننده خط پیونیده شامل دو خط پیونیده) را می‌توان به جای خطوط شاخه‌ای بین خطوط اصلی خط شاخه‌ای قرار داد [۱].

پهنای باند پیونندها را می‌توان با اتصال سری چند قطعه افزایش داد. روشهای طراحی پیونندهای پهن باند را مانند "چی‌شف"

چکیده: در این مقاله یک روش عددی برای طراحی بهینه پیوننده خط شاخه‌ای برای تقسیم توان اختیاری بین دهانه‌ای خروجی در یک باند فرانکنسی هموار با تطبیق امپدانس منبع به امپدانس بار ارائه می‌شود. ابتدا، دامنه امواج معنکسه و منتقله در چهار دهانه پیوننده بر حسب ضرباب انعکاس و انتقال نوشته شده که بر حسب پارامترهای پراکندگی و در نهایت بر حسب ماتریس انتقال در تحلیل زوج و فرد بیان می‌شود. بالاخره پس از محاسبه توان خروجی در چهار دهانه، تابع خطای برای نسبت توانها در خروجیهای پیوننده در باند فرانکنسی مطلوب می‌سازیم. در این روش مدل‌های پاشندگی برای خطوط میکرواستریپ نیز منظور می‌شود. کمینه‌سازی تابع خط، ابعاد پیوننده مانند پهنای نوار میکرواستریپ و طول خطوط و شاخه‌هایش را به دست می‌دهد. پاسخ فرانکنسی حاصل از برنامه‌های کامپیوتری نشان می‌دهد که روش پیشنهادی برای طراحی بهینه پیوننده خط شاخه‌ای موثر و کارآمد می‌باشد.

کلید واژه: پیوننده جهتی، پیوننده خط شاخه‌ای، تطبیق امپدانس، بهینه‌سازی، مدارات میکروویو، طراحی به کمک کامپیوتر

۱- مقدمه

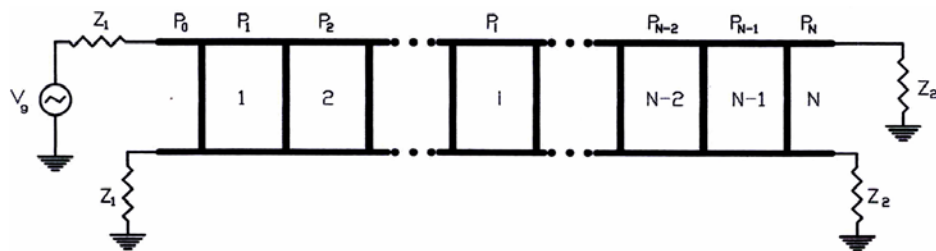
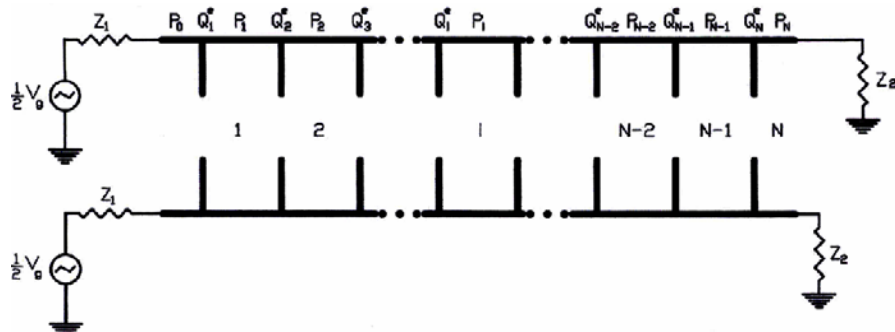
پیونندهای جهتی مانند پیوننده خط شاخه‌ای^۱، پیوننده خط پیونیده^۲، پیوننده لانژ^۳ و پیوننده حلقوی^۴ دارای کاربردهای متعددی در طیف فرانکنس میکروویو (علی‌الخصوص $1 \text{ تا } 40 \text{ \AA}$ گیگاهرتز) می‌باشند، مانند تقسیم‌کننده توان، ترکیب‌کننده توان، تغییردهنده فاز، آشکارساز فرانکنس، فیلتر (میکسر)، تقویت‌کننده متوازن، تضعیف‌کننده، آشکارساز فرانکنس، TR، سیستم تغذیه آتن آرایه‌ای، ترانسفورماتور امپدانس و غیره. به علت حجم کم، سبکی، ارزانی، سهولت ساخت، قابلیت تولید انبوه و کاربرد مدارات میکرواستریپ، ابزارهای سابق‌الذکر را می‌توان برای میکرواستریپ (ربینوار) و استریپ‌لاین (خط نواری) ساخته و تولید کرد. محدوده امپدانس قابل تحقق میکرواستریپ به جنس دی‌الکتریک و ضخامت زیرلایه و فرانکنس عمل بستگی دارد. مثلاً، برای زیرلایه آلومینا (Al_2O_3) با ضخامت دی‌الکتریک برابر 0.2 میلی‌متر ، امپدانس مشخصه قابل حصول از $40 \text{ تا } 140 \text{ اهم}$ می‌باشد. این برد محدود امپدانس باعث محدودیت طراحی قطعات خطوط میکرواستریپ برای مدارات میلی‌متری و مدارات مجتمع میکروویو (MIC) و مدارات مجتمع یکپارچه میکروویو (MMIC) می‌شود.

این مقاله در تاریخ ۸ اسفند ماه ۱۳۸۰ دریافت و در تاریخ ۲ دی ماه ۱۳۸۱ بازنگری شد.

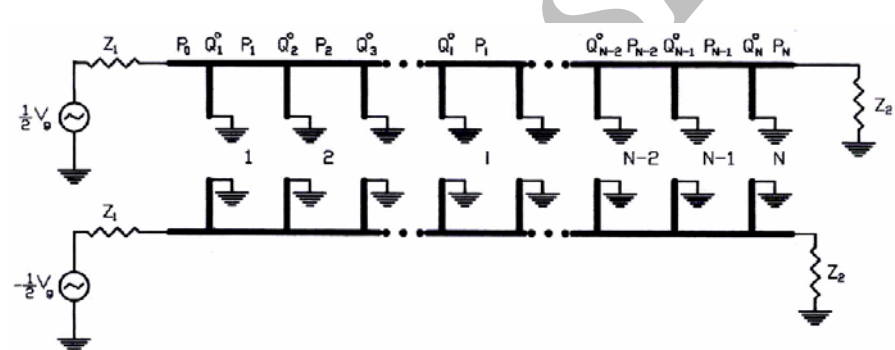
همایون عریضی، دانشکده مهندسی برق، دانشگاه علم و صنعت ایران، تهران، نارمک، کد پستی ۱۶۸۴۴ (email: h_oraizi@iust.ac.ir).

جمال حامدفر، شرکت ایران‌خودرو، تهران (email: j-hamedfar@ikco.com).

1. Branch-line coupler
2. Coupled-line coupler
3. Lange coupler
4. Ring coupler

شکل ۱: پيوننده خط شاخه‌ای N قسمتی متصل به اميدانس‌های منبع Z_1 و اميدانس بار Z_2 .

شکل ۲: مدار معادل تحریک زوج.



شکل ۳: مدار معادل تحریک فرد.

قابل ساخت در فرکانسهای پائین ۲ گیگاهرتز در حدود ۱۳-۱۵۰ اهم و در فرکانسهای بالا در محدوده ۱۸ گیگاهرتز در حدود ۴۰-۱۶۰ اهم می‌باشد. اکثر متون مهندسی میکروویو روشن تحلیل زوج و فرد پيوننده جهتی خط شاخه‌ای را شرح می‌دهد [۳] تا [۹]، که اولین بار در مرجع [۱۰] ارائه شد. پيوننده جهتی یکی از ابزارهای اصلی مدارات میکروویو می‌باشد و تاریخچه آن در مراجع [۱۱] تا [۱۵] شرح داده شده و بعضی از مقالات اصلی و معتبرش در بخش مراجع ذکر شده است [۱۵] تا [۲۲]. پيوننده جهتی خط شاخه‌ای همواره مورد توجه خاص بوده و انواع مختلفی از این پيوننده برای بهبود عملکرد آن ابداع شده است [۲۳] تا [۳۷].

در این مقاله یک روش عددی بر مبنای کمترین مربعات برای طراحی یک پيوننده خط شاخه‌ای چند قسمتی پهن باند همراه با تطبيق اميدانس منبع به اميدانس بار ارائه می‌شود. در این روش از روابط پاشندگی برای ثابت دیالکتریک و اميدانس مشخصه خطوط نواری استفاده می‌شود [۵]، [۷]، [۲۸] و [۳۹]. ابتدا روش عددی کمترین مربعات برای طراحی پيوننده خط شاخه‌ای چند قسمتی شرح داده شده و سپس برنامه کامپیوترا و نتایج حاصل از آن توضیح داده می‌شود.

۲- روش عددی

یک پيوننده خط شاخه‌ای N قسمتی دارای تقارن محوری را مطابق شکل ۱ در نظر بگیرید. اميدانس داخلی منبع متصل به دهانه‌های ۱ و ۴

(موجکهای یکسان)^۱ و "باتوروث" (حداکثر تخت یا دو جمله‌ای)^۲ می‌توان به کار برد، که به محدوده وسیع اميدانس مشخصه خطوط نیاز دارد [۲]. همانطور که تعداد شاخه‌ها افزایش می‌یابد، پهنای باند فرکانسی نیز افزایش می‌یابد ولی اميدانس مشخصه مورد نیاز در شاخه‌ها خصوصاً شاخه‌های بیرونی به اندازه غیر قابل تحققی افزایش می‌یابد. مثلاً، یک پيوننده جهتی خط شاخه‌ای با تعداد ۳ شاخه به پهنای باند ۳۰ درصد برای هر دو دهانه پيونیده و مجزا دست می‌یابد. ولی اندازه اميدانس لازم برای شاخه‌های بیرونی در حدود ۱۲۰ اهم خواهد بود. پهنای نوار هادی برای چنین اميدانسی بسیار باریک است ولی قابل ساخت می‌باشد. یک پيوننده خط شاخه‌ای با ۴ شاخه دارای پهنای باند ۵۰ درصد برای دهانه‌های پيونیده و مجزا می‌باشد، ولی اميدانس شاخه‌های بیرونی در حدود ۱۴۰ اهم است که مرز بالای اميدانس قابل تحقق در میکرواستریپ می‌باشد. بنابراین، معمولاً تعداد شاخه‌های این پيوننده بیشتر از ۴ اختیار نمی‌شود. برای میکرواستریپ با زیرلایه‌ای از جنس آلومینیا، ثابت دیالکتریک $\epsilon_r = 9/8$ و ضخامت 0.635 میلی‌متر، محدوده اميدانس مشخصه

1. Chebyshev, equal ripple

2. Butterworth, maximally flat, binomial

$$E_{\gamma,k} = \frac{1}{\gamma} (\Gamma_k^e - \Gamma_k^o) \quad (10)$$

ضریب انعکاس Γ و ضریب انتقال T برای یک مدار دو دهانه‌ای مختوم به یک امپدانس بار Z_1 بر حسب پارامترهای پراکندگی و ضریب انعکاس در بار Γ_L عبارتند از (پیوست الف):

$$\Gamma_k^{e,o} = S_{11,k}^{e,o} + \frac{S_{12,k}^{e,o} S_{21,k}^{e,o} \Gamma_{L,k}}{1 - S_{22,k}^{e,o} \Gamma_{L,k}} \quad (11)$$

$$T_k^{e,o} = \frac{S_{12,k}^{e,o}}{1 - S_{22,k}^{e,o} \Gamma_{L,k}} \quad (12)$$

$$\Gamma_{L,k} = \frac{Z_{L,k} - Z_{o,N,k}}{Z_{L,k} + Z_{o,N,k}} \quad (13)$$

در اینجا زیرنویس k فرکانس در باند، رونویسهای e و o به ترتیب مود زوج و فرد و $Z_{o,N,k}$ امپدانس مشخصه خط خروجی و در مورد مسئله حاضر N امین قسمت خط را نشان می‌دهد. پارامترهای پراکندگی پیوننده را می‌توان بر حسب پارامترهای ABCD و امپدانس منبع Z_1 و امپدانس بار Z_2 برای مودهای زوج و فرد نوشت (پیوست ب):

$$S_{11,k} = \frac{1}{\Delta} (A_k + B_k Y_{\gamma,k} - C_k Z_{\gamma,k} - D_k Z_{\gamma,k} Y_{\gamma,k}) \quad (14)$$

$$S_{12,k} = \frac{2}{\Delta} (A_k D_k - B_k C_k) Z_{1,k} Y_{2,k} \quad (15)$$

$$S_{21,k} = \frac{2}{\Delta} (A_k + B_k Y_{\gamma,k} - C_k Z_{\gamma,k} - D_k Z_{\gamma,k} Y_{\gamma,k}) \quad (16)$$

$$S_{22,k} = \frac{1}{\Delta} (-A_k + B_k Y_{\gamma,k} - C_k Z_{\gamma,k} + D_k Z_{\gamma,k} Y_{\gamma,k}) \quad (17)$$

مخرج کسرهای فوق عبارتست از:

$$\Delta = A_k + B_k Y_{\gamma,k} + C_k Z_{\gamma,k} + D_k Z_{\gamma,k} Y_{\gamma,k} \quad (18)$$

توجه می‌کنیم از آنجا که ولتاژها و جریانها در دهانه‌های ورودی و خروجی شبکه دو دهانه‌ای بهنجار (نرم‌الزیده) نشده‌اند، ماتریس پراکندگی متقارن نیست [۵].

بنابراین، برای محاسبه دامنه امواج منعکسه و منتقله در چهار دهانه پیوننده، ابتدا پارامترهای ABCD را توسط معادلات (۱) تا (۶) با استفاده از روابط پاشندگی ϵ و Z_o تعیین می‌کنیم. سپس برای محاسبه پارامترهای پراکندگی آنها را در معادلات (۱۴) تا (۱۸) جایگزین می‌کنیم. بالاخره، ضرایب انعکاس و انتقال را توسط معادلات (۱۱) تا (۱۳) محاسبه کرده و در معادلات (۷) تا (۱۰) جایگزین می‌کنیم.

حال، توان منعکسه از دهانه ۱ و منتقله به دهانه‌های ۲، ۳ و ۴ را در فرکانس k ام بصورت زیر می‌توان نوشت:

$$P_{1,k} = \frac{1}{\gamma} |E_{1,k}|^2 \operatorname{Re}(Y_{1,k}^*) \quad (19)$$

$$P_{\gamma,k} = \frac{1}{\gamma} |E_{\gamma,k}|^2 \operatorname{Re}(Y_{\gamma,k}^*) \quad (20)$$

را با Z_1 و امپدانس بار متصل به دهانه‌های ۲ و ۳ را با Z_2 نمایش می‌دهیم. ماتریس انتقال، طول، ثابت انتشار و ادمیتانس مشخصه قسمت i ام در امتداد خط سری را به ترتیب توسط $Y_{o,i}, l_i, P_i$ و γ_i برای $i = 1, 2, \dots, N$ نشان می‌دهیم. دو خط سری توسط شاخه‌های موازی به یک دیگر وصل می‌شوند. حال، تحلیل مود زوج و فرد را برای این پیوننده به کار می‌بریم. شکل ۲، حالت تحریک زوج پیوننده جهتی را با اتصال باز نقطه میانی شاخه‌های موازی بین دو خط سری نشان می‌دهد. شکل ۳، حالت تحریک فرد پیوننده جهتی را با اتصال کوتاه نقطه میانی شاخه‌های موازی نمایش می‌دهد. طول، ثابت انتشار و امپدانس مشخصه شاخه‌های موازی j ام را به ترتیب با $\hat{Y}_{o,j}, \hat{\gamma}_j, d_j$ نشان می‌دهیم که برای هر دو مود زوج و فرد یکسان است. ماتریس انتقال شاخه j ام برای مود زوج و فرد به ترتیب با رونویسهای $Q_j^{e,o}$ و $Q_j^{o,o}$ توسط نمایش داده می‌شود.

بنابراین، با استفاده از خاصیت ماتریس انتقال، می‌توان ماتریس ABCD کل مدار زوج و فرد پیوننده خط شاخه‌ای را در فرکانس k ام در باند فرکانسی مطلوب بصورت زیر نوشت:

$$T_k^{e,o} = \begin{bmatrix} A_k^{e,o} & B_k^{e,o} \\ C_k^{e,o} & D_k^{e,o} \end{bmatrix} = P_{o,k} \prod_{i=1}^N Q_{i,k}^{e,o} P_{i,k} = P_{o,k} \prod_{i=1}^N T_{i,k}^{e,o} \quad (1)$$

در اینجا ماتریس انتقال قسمت i ام و ماتریس انتقال زوج و فرد شاخه موازی i ام عبارتند از:

$$P_{i,k} = \begin{bmatrix} \cosh \gamma_{i,k} l_i & Z_{o,i,k} \sinh \gamma_{i,k} l_i \\ Y_{o,i,k} \sinh \gamma_{i,k} l_i & \cosh \gamma_{i,k} l_i \end{bmatrix} \quad (2)$$

$$Q_{i,k}^o = \begin{bmatrix} 1 & \cdot \\ \hat{Y}_{o,i,k} \coth \hat{\gamma}_{i,k} d_i & 1 \end{bmatrix} \quad (3)$$

$$Q_{i,k}^e = \begin{bmatrix} 1 & \cdot \\ \hat{Y}_{o,i,k} \tanh \hat{\gamma}_{i,k} d_i & 1 \end{bmatrix} \quad (4)$$

$$\gamma_{i,k} = \alpha_{i,k} + j\beta_{i,k} = \alpha_{i,k} + j\omega_k \sqrt{\mu_o \epsilon_o \epsilon_{re,i,k}(f_k)} \quad (5)$$

$$\hat{\gamma}_{i,k} = \hat{\alpha}_{i,k} + j\hat{\beta}_{i,k} = \hat{\alpha}_{i,k} + j\omega_k \sqrt{\mu_o \epsilon_o \hat{\epsilon}_{re,i,k}(f_k)} \quad (6)$$

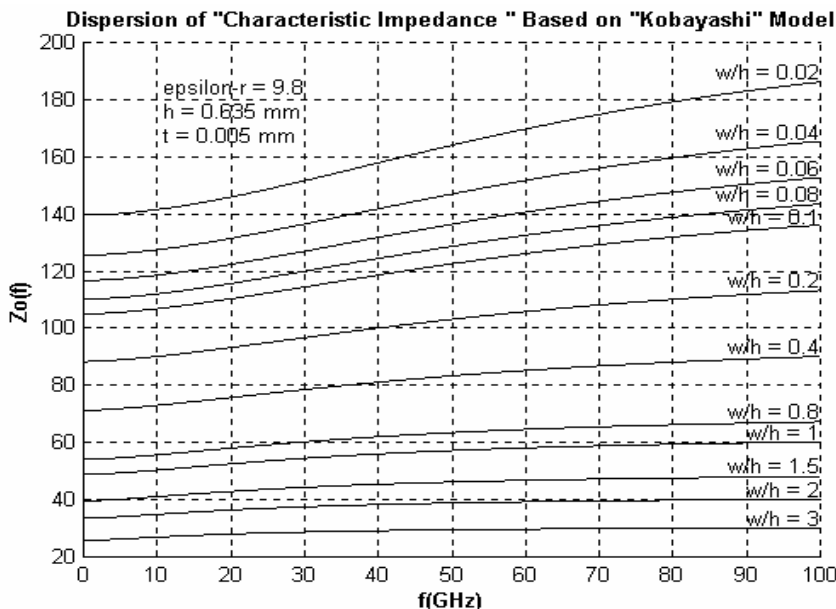
و نیز $\epsilon_{re,i,k}$ ثابت دی‌کلتریک قسمت i ام خط سری و $\hat{\epsilon}_{re,i,k}$ ثابت دی‌کلتریک شاخه i ام در فرکانس f_k می‌باشد. روابط پاشندگی برای $(\epsilon_{re}(f) = 0)$ و $(\epsilon_{re}(f) = Z_o(f))$ برای تک خط میکرواستریپ در مراجع [۵]، [۳۸] و [۳۹]، داده شده است.

حال، دامنه موج منعکسه در دهانه متصل به منبع (۱) و دامنه امواج منتقله به دهانه‌های ۲، ۳ و ۴ بر مبنای تحلیل مود زوج و فرد عبارتند از [۴]:

$$E_{1,k} = \frac{1}{\gamma} (\Gamma_k^e + \Gamma_k^o) \quad (7)$$

$$E_{\gamma,k} = \frac{1}{\gamma} (T_k^e + T_k^o) \quad (8)$$

$$E_{\gamma,k} = \frac{1}{\gamma} (T_k^o - T_k^e) \quad (9)$$



شکل ۴: منحنی تغییرات اميدانس مشخصه نسبت به فرکانس برای پهنه‌های مختلف خط میکرواستریپ بر مبنای مدل پاشندگی "کوبایاشی".

$$\begin{aligned} \mathcal{E} = & wt^1 \sum_k |E_{\text{v},k}|^2 + wt^2 \sum_k |E_{\text{v},k}| - \sqrt{\alpha} \\ & + wt^3 \sum_k |E_{\text{v},k}| - \sqrt{1-\alpha} + wt^4 \sum_k |E_{\text{v},k}|^2 \end{aligned} \quad (25)$$

$$P_{\text{v},k} = \frac{1}{2} |E_{\text{v},k}|^2 \operatorname{Re}(Y_{\text{v},k}^*) \quad (21)$$

$$P_{\text{v},k} = \frac{1}{2} |E_{\text{v},k}|^2 \operatorname{Re}(Y_{\text{v},k}^*) \quad (22)$$

۳- برنامه کامپیوترا و نتایج

یک برنامه کامپیوترا در محیط MATLAB برای طراحی پیوننده خط شاخه‌ای بر مبنایتابع خطا در معادله (۲۴) همراه با معادلات وابسته نوشته شده است. کمیات ورودی برنامه کامپیوترا عبارتند از: N (تعداد قسمتهای پیوننده)، Z_0 (اميادانس ورودی پیوننده بر حسب اهم)، α (اميادانس خروجی بر حسب اهم)، l_i (طول اولیه یک قسمت خط پیوننده بر حسب متر)، d_i (طول اولیه یک شاخه بر حسب متر)، $u_i = w_i / h$ (پهنه‌ای اولیه بهنجار شده نوار هادی خط)، $\hat{u}_i = \hat{w}_i / h$ (پهنه‌ای اولیه بهنجار شده نوار هادی شاخه)، f_i (حد پایین پهنه‌ای باند فرکانسی مطلوب بر حسب هرتز)، f_u (حد بالای پهنه‌ای باند فرکانسی مطلوب بر حسب هرتز)، K (تعداد تقسیمات پهنه‌ای باند فرکانسی)، α (نسبت تقسیم توان در دهانه خروجی ۲ و به تبع آن نسبت تقسیم توان $1-\alpha$ در دهانه خروجی ۳)، eps (معیار خط برای توقف برنامه کامپیوترا برای حداقل تغییرات پهنه‌ای نوار هادی خطها و شاخه‌ها و نیز طول خطها و شاخه‌ها).

کمیات خروجی برنامه کامپیوترا عبارتند از: پهنه‌ای نوار هادی خطها و شاخه‌ها قبل و بعد از بهینه‌سازی، طول خطها و شاخه‌ها قبل و بعد از بهینه‌سازی، اميدانس مشخصه خطها و شاخه‌ها بعد از بهینه‌سازی و اندازه تابع خط‌آقبل و بعد از بهینه‌سازی. پاسخ فرکانسی پیوننده خط شاخه‌ای را می‌توان بصورت منحنی توان خروجی P_2 و P_3 به ترتیب در دهانه‌های 2 و 3 نسبت به فرکانس قبل و بعد از بهینه‌سازی رسم کرد. همچنین منحنی تغییرات توان باگشتی یا ضربی انکاس در دهانه‌های 1 و 4 را می‌توان نسبت به فرکانس رسم کرد.

در روش پیشنهادی این مقاله برای طراحی پیوننده خط شاخه‌ای، خطوط و شاخه‌ها با تلفات فرض می‌شوند. بطوري که ثابت‌های انتشار آن مختلط است. ثابت تضعیف کل خط و شاخه بصورت مجموع ثابت تضعیف

توان حقیقی تابش به دهانه 1 طبق اصل بقاء توان در حالت بی‌تلفات برابر است با:

$$P_{\text{inc},k} = P_{\text{v},k} + P_{\text{r},k} + P_{\text{v},k} + P_{\text{v},k} \quad (23)$$

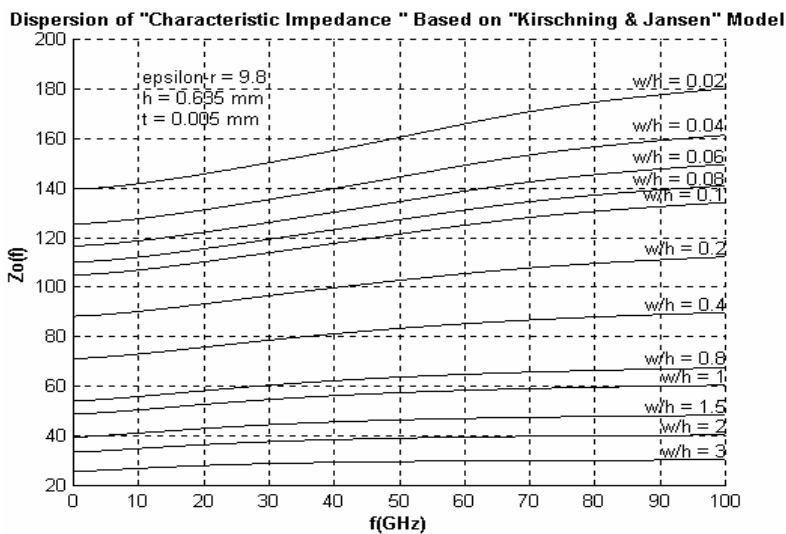
حال، فرض می‌کنیم که کسر توان $\alpha P_{\text{inc},k}$ به دهانه 2 و کسر توان $(1-\alpha)P_{\text{inc},k}$ به دهانه 3 منتقل شود. در نهایت و در حالت تطبيق، هیچ توانی نباید از دهانه‌های 1 و 4 معکس شود. بنابراین، تابع خطاطی در باند فرکانسی مطلوب که به تعداد K فرکانس تقسیم شده است، می‌سازیم:

$$\begin{aligned} \mathcal{E} = & wt^1 \sum_k P_{\text{v},k} + wt^2 \sum_k [P_{\text{v},k} - \alpha P_{\text{inc},k}]^2 \\ & + wt^3 \sum_k [P_{\text{v},k} - (1-\alpha) P_{\text{inc},k}]^2 + wt^4 \sum_k P_{\text{v},k} \end{aligned} \quad (24)$$

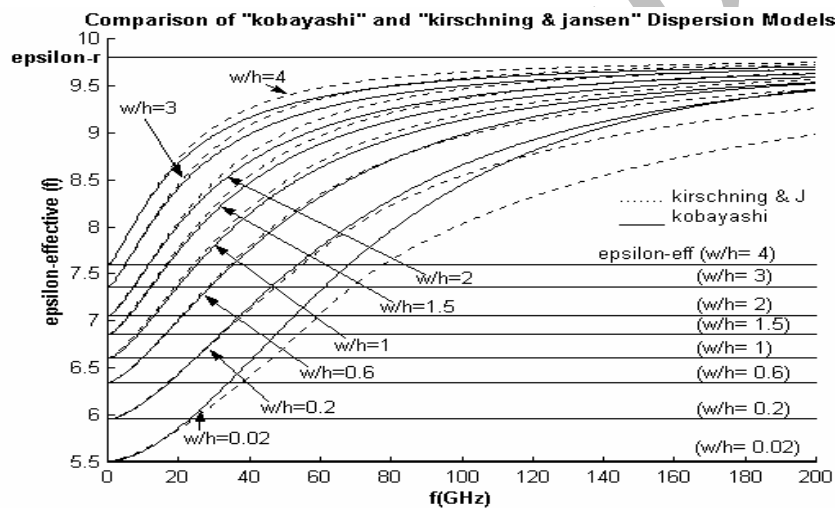
در اینجا wt^1, wt^2, wt^3, wt^4 ضرایب وزنی هستند که اندازه چهار جمله در معادله (۲۴) را هم ارز می‌سازد و تاثیری بر روند همگرایی الگوریتم دارد. تابع خطاطی را می‌توان تنها با منظور کردن جمله دوم یعنی $wt^1 = wt^3 = wt^4 = 0$ اختیار کرد. ترکیبات مختلف دیگری را نیز می‌توان به کار برد.

امکان کاهش اندازه پیوننده خط شاخه‌ای از طریق اتصال خازنهای فشرده به گوشش‌هایش وجود دارد. در تحلیل سایق‌الذکر می‌توان ادمیتانس $j\omega C_i$ را به ماتریس انتقال شاخه‌های موازی پیوننده افزود و اندازه‌هایش را همراه با پهنا و طول نوارهای میکرواستریپ تعیین کرد.

اگر اميدانس‌های ورودی Z_1 و خروجی Z_2 پیوننده جهتی یکسان باشند ($Z_1 = Z_2$) و با فرض تقسیم توان به نسبت α و $(1-\alpha)$ بین دو دهانه خروجی 2 و 3 ، تابع خط را می‌توان بصورت زیر ساخت:



شکل ۵: منحنی تغییرات امپدانس مشخصه نسبت به فرکانس برای پهنه‌های مختلف خط میکرواستریپ بر مبنای مدل پاشنگ "کرشنینگ و جانسن".



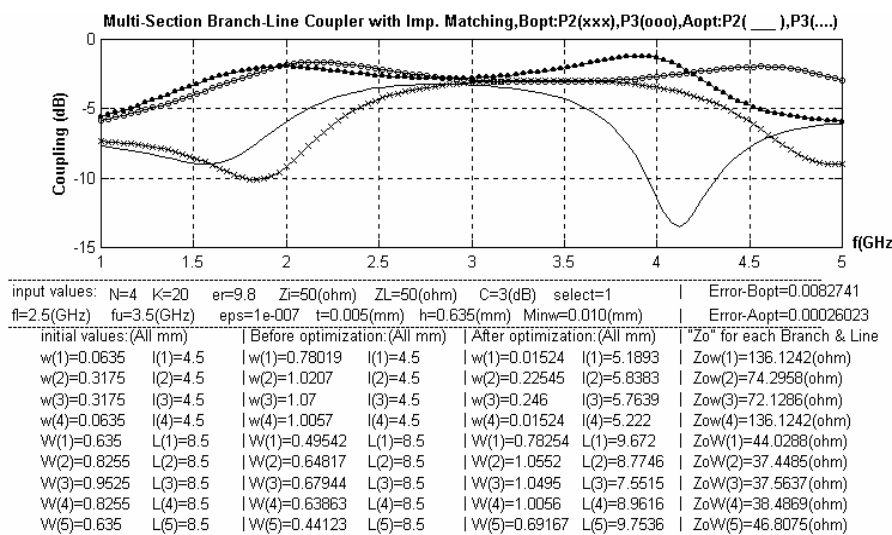
شکل ۶: مقایسه مدل‌های پاشنگ "کوبایاشی" و "کرشنینگ و جانسن" بصورت منحنی تغییرات ضریب الکتریکی مؤثر نسبت به فرکانس برای پهنه‌های مختلف نوار هادی میکرواستریپ.

باند فرکانسی مطلوب و امپدانس مشخصه تقریبی شاخه‌ها و خطوط، پهنه‌ای اولیه خطوط و شاخه‌ها را میتوان بهره‌ولت از روابط پاشنگی امپدانس مشخصه میکرواستریپ بر مبنای مدل "کوبایاشی" (شکل ۴) و مدل "کرشنینگ و جانسن" (شکل ۵) به دست آورد. مقایسه مدل‌های پاشنگی "کوبایاشی" و "کرشنینگ و جانسن" بصورت منحنی ضریب الکتریکی مؤثر نسبت به فرکانس برای پارامتر پهنه‌ای بهنجار شده نوار هادی میکرواستریپ (W/h) در شکل ۶ رسم شده است.

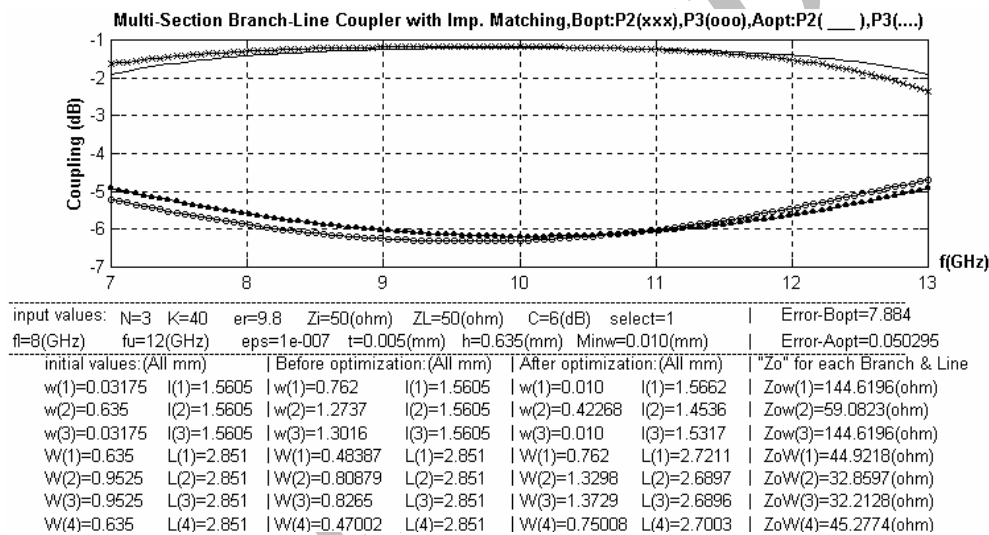
برنامه کامپیوتربی برای چند مثال طراحی و بهینه‌سازی پیوند خط شاخه‌ای اجرا شده است. در شکلهای خروجی برنامه کامپیوتربی، کمیات ورودی و کمیات محاسبه شده و نیز منحنی تغییرات اندازه توان خروجی P_2 و P_3 به ترتیب در دهانه‌های ۲ و ۳ و همچنین منحنی تغییرات اندازه توان معکسه P_1 و P_4 به ترتیب، در دهانه‌های ۱ و ۴ نسبت به فرکانس قبل و بعد از بهینه‌سازی (نسبت به طول خطها و شاخه‌ها) رسم شده است. در شکلهای ۷ و ۸، طراحی پیوند خط شاخه‌ای برای ($Z_1 = Z_2 = 50 \Omega$) و نسبت تقسیم توان $P_2 = P_3 = 0 / 5 P_{inc}(W)$ و $P_1 = P_4 = 0 / 25 P_{inc}(W)$ و $P_2 = P_3 = 0 / 75 P_{inc}(W)$ رسم شده است.

هدایتی α_c و عایقی α_d بصورت $\alpha = \alpha_c + \alpha_d$ منظور شده است [۹]. همچنین پهنه‌ای موثر نوار هادیها با احتساب ضخامت نوار هادی میکرواستریپ بصورت W_e در نظر گرفته شده است. روابط پاشنگی برای ثابت دی الکتریک موثر ϵ_{re} برای خطوط و شاخه‌ها به کار رفته است. روابط پاشنگی Kobayashi [۳۹] در محدوده $1 < \epsilon_r < 128$ و $0 < W/h < 10$ صادق است. در صورتی که روابط پاشنگی و Jansen [۴۰] در محدوده $0 < h/\lambda < 130$ و $1 < \epsilon_r < 20$ و $0 < W/h < 100$ صادق می‌باشد. برای امپدانس مشخصه خطوط از روابط پاشنگی Hammerstad و Jenson [۳۸] استفاده شده است. هر کدام از این دو حالت و نیز حالت بی‌پاشنگی را می‌توان در برنامه کامپیوتربی انتخاب کرد.

یکی از مسائل طراحی از طریق روش کمترین مربعات، انتخاب مقادیر اولیه برای آغاز فرایند بهینه‌سازی است. برای طراحی پیوند خط شاخه‌ای، کمیات اولیه پهنا و طول خطوط و شاخه‌ها است. با معلوم بودن امپدانس ورودی Z_1 و Z_2 ، میتوان امپدانس خطوط و شاخه‌ها را حدس زد. معمولاً امپدانس مشخصه خطوط از ناحیه میانی پیوند بسوی دو انتهایش به تدریج افزایش می‌یابد و امپدانس مشخصه شاخه‌های انتهایی پیوند از نواحی میانی اش نیز به تدریج افزایش می‌یابد. با توجه به پهنه‌ای



شکل ۷: طراحی پيوننده خط شاخهای برای امپدانس‌های منبع و بار یکسان و تقسیم توان یکسان.



شکل ۸: منحنی توانهای خروجی نسبت به فرکانس برای پيوننده با امپدانس‌های منبع و بار یکسان و تقسیم توان متفاوت.

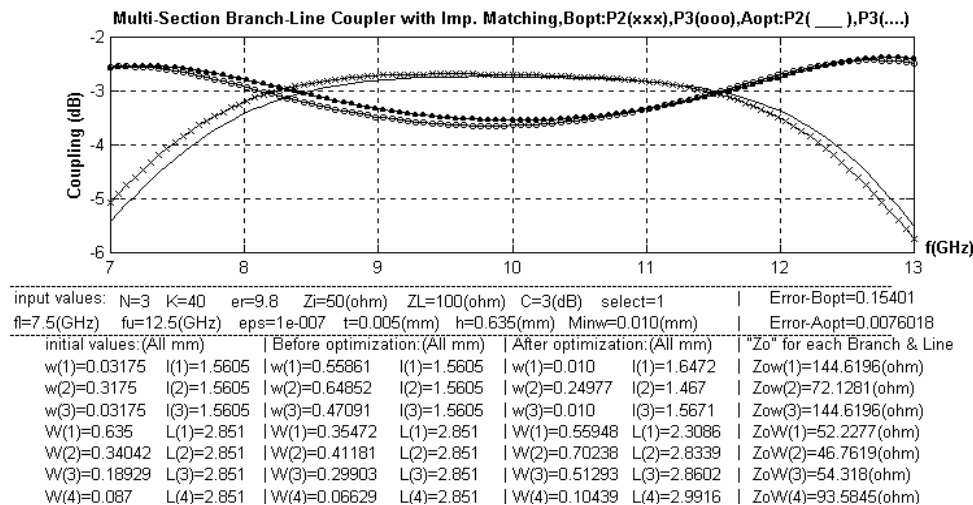
می‌رسد. در شکلها منحنی تغییرات آنها قبل و بعد از بهینه‌سازی رسم شده است. در صورتی که برای پيوننده خط پیونیده، به عنوان یک پيوننده ضعیف مرسوم است که مقادیر ضربی پیوند (C)، سمتگرانی (D) و جداسازی (I) را نسبت به فرکانس رسم کنند. در هر حال، در یکی از مثلاها برای پيوننده خط شاخه‌ای، ضربی جداسازی یعنی توان نسبی رسیده به دهانه مجرأ (دهانه ۴) نسبت به فرکانس و نیز توان بازگشتی یا منعکسه از دهانه ورودی (دهانه ۱) نسبت به فرکانس رسم شده است. (شکل ۱۱).

دو مثال برای طراحی پيوننده خط شاخه‌ای توسط نرم‌افزار Serenade نیز تحلیل شد و با روش طراحی مقاله حاضر بر مبنای کمترین مربعات مقایسه شد و نتایج حاصل مطلوب بود. این دو مثال طراحی پيوننده خط شاخه‌ای با تعداد N قسمت ($N = 4$)، امپدانس‌های (Ω) $Z_i = Z_L = 50\Omega$ و ضربی پیوند $C = 3 \text{ dB}$ و $C = 6 \text{ dB}$ توسعه شد که طبق انتشارات انجام شد و نتایج آن به ترتیب در شکلها ۱۲ و ۱۳ ارائه شده است. تحلیل این مسئله توسعه نرم افزار Serenade نیز به ترتیب در شکلها ۱۴ و ۱۵ ارائه شده است که تطابق خوبی با شکلها ۱۲ و ۱۳ دارد.

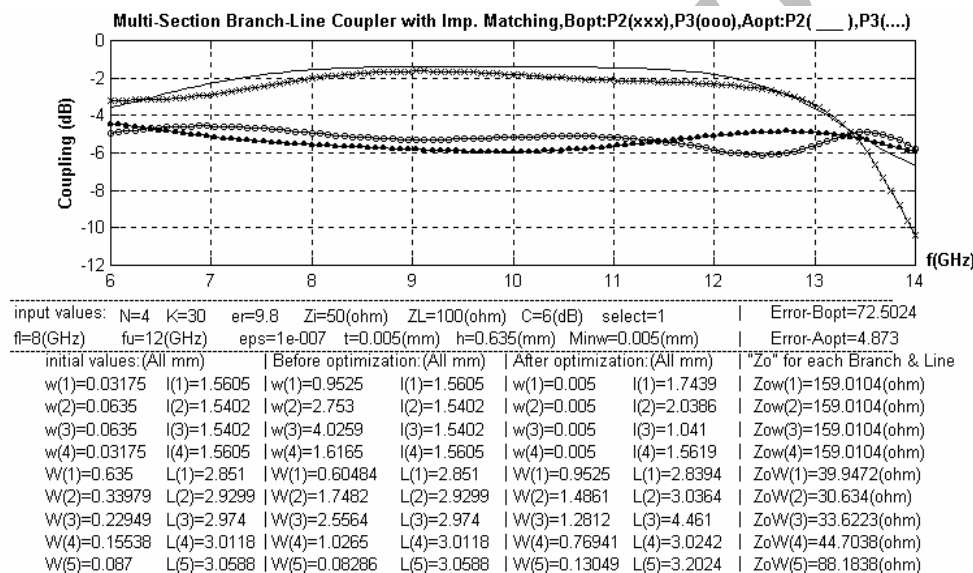
در شکلها ۹ و ۱۰، طراحی پيوننده خط شاخه‌ای برای $Z_1 = 50\Omega$ و $Z_2 = 100\Omega$ و نسبت تقسیم توان $P_1 = P_2 = 0/25P_{inc}(W)$ و $P_3 = P_4 = 0/5P_{inc}(W)$ رسم شده است. در شکل ۱۱، توانهای بازگشتی P_1 و P_4 برای حالت اخیر رسم شده است. (شایان ذکر است که در شکلها، پهنای خطوط و شاخه‌ها به ترتیب با W و L نمایش داده شده است).

از این مثالها مشاهده می‌شود که پاسخ پيوننده به طول خط و شاخه حساس است. انتخاب یک طول اولیه خط باعث می‌شود که در مرحله اول طراحی پيوننده توسعه روش پیشنهادی، پاسخی به دست آید که حول فرکانس مرکزی که طول شاخه برابر $\lambda_g/4$ است، قرار گیرد. پس از بهینه‌سازی نسبت به طول شاخه و خط، پاسخ پيوننده به سوی پهنای باند تعیین شده حرکت خواهد کرد.

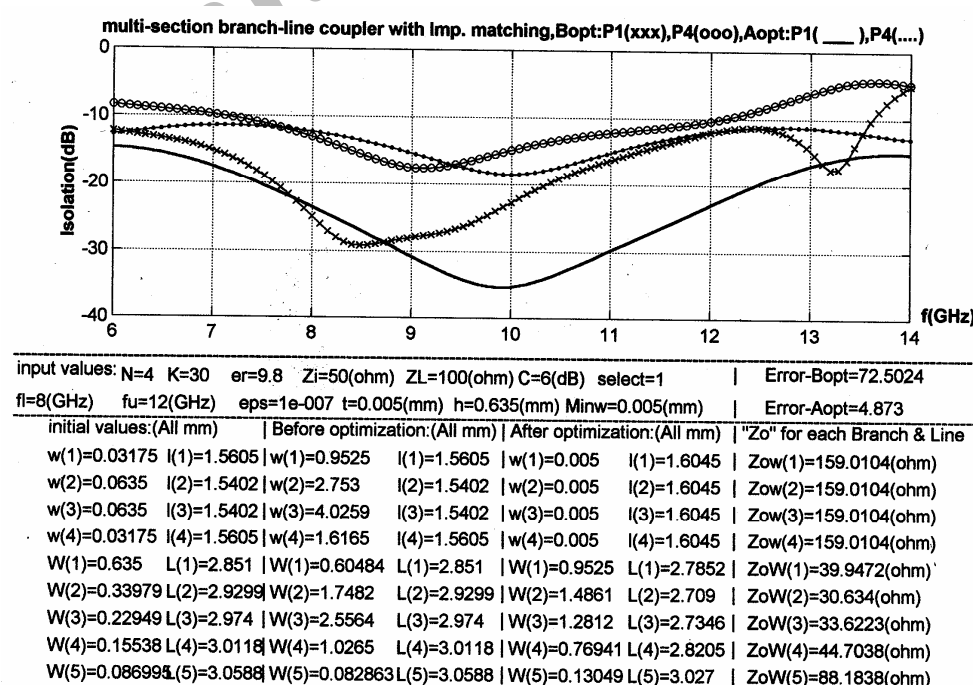
شایان ذکر است که پيوننده خط شاخه‌ای عمدتاً به عنوان یک تقسیم‌کننده توان تلقی می‌شود و از خانواده ابزارها یا پیوند قوی محاسبه می‌شود. بنابراین، متداول است که نسبت تقسیم توان یا توان در دو دهانه خروجی پيوننده (دهانه‌های ۲ و ۳)، محاسبه و رسم شود. مثلاً، برای ضربی پیوند $C = 3 \text{ dB}$ ، نیمی از توان به دهانه ۲ و نیم دیگر به دهانه ۳



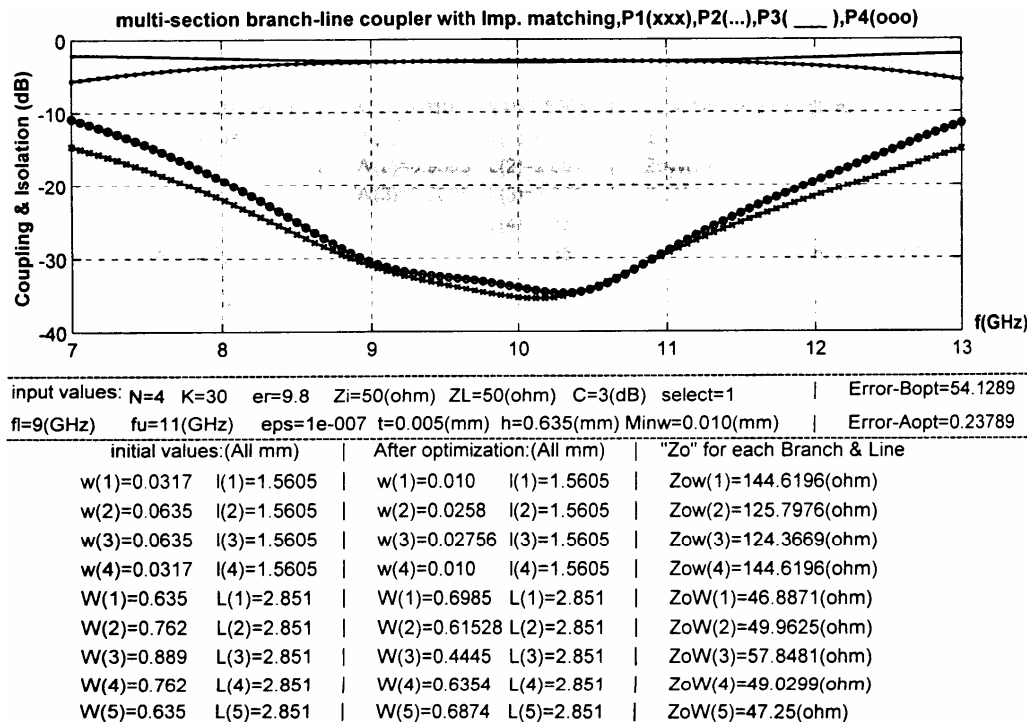
شکل ۹: طراحی پیوندۀ خط شاخه‌ای منبع و بار متفاوت و تقسیم توان یکسان.



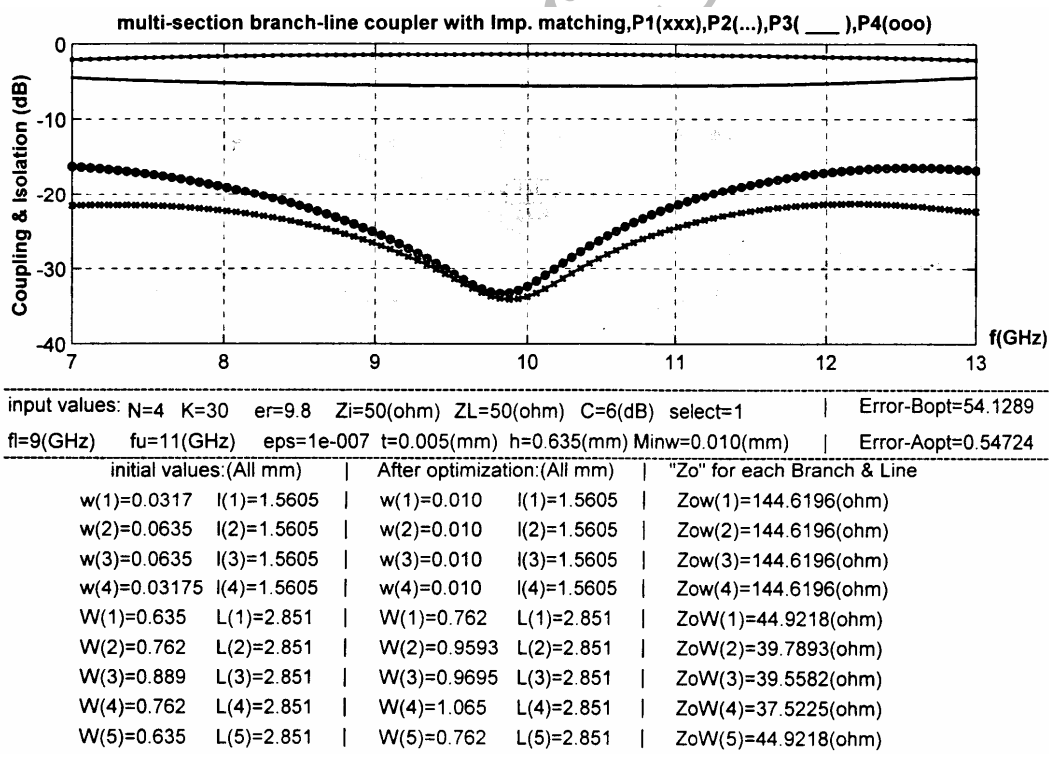
شکل ۱۰: منحنی توانهای خروجی نسبت به فرکانس برای پیوندۀ خط شاخه‌ای منبع و بار متفاوت و تقسیم توان متفاوت.



شکل ۱۱: منحنی توان معکسه نسبت به فرکانس برای پیوندۀ خط شاخه‌ای با امپدانس‌های متفاوت و تقسیم توان متفاوت.



شکل ۱۲: طراحی پيوننده خط شاخه‌ای برای ۴ . $C = 3 \text{ dB}$ و $Z_i = Z_L = 50 \Omega$ ، $N = 4$

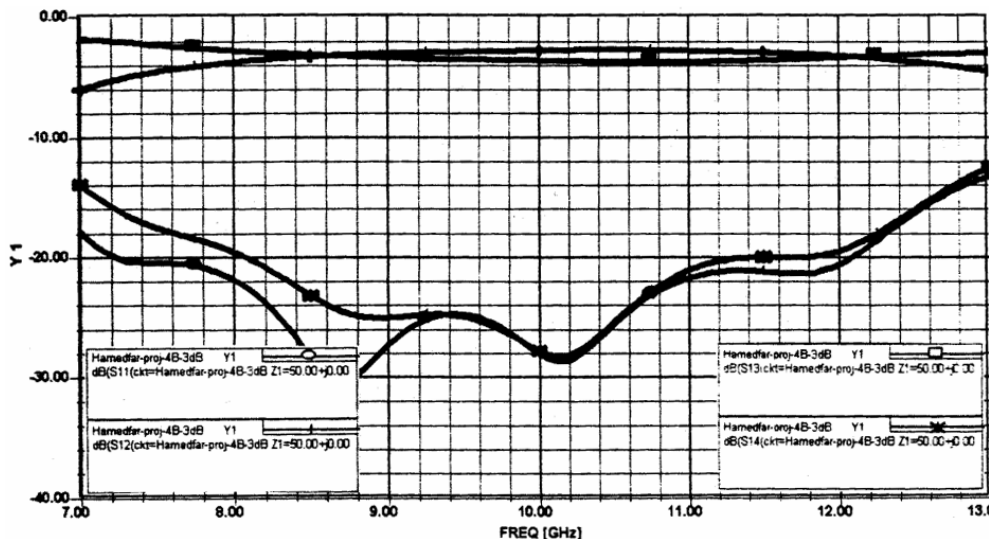


شکل ۱۳: طراحی پيوننده خط شاخه‌ای برای ۴ . $C = 6 \text{ dB}$ و $Z_i = Z_L = 50 \Omega$ ، $N = 4$

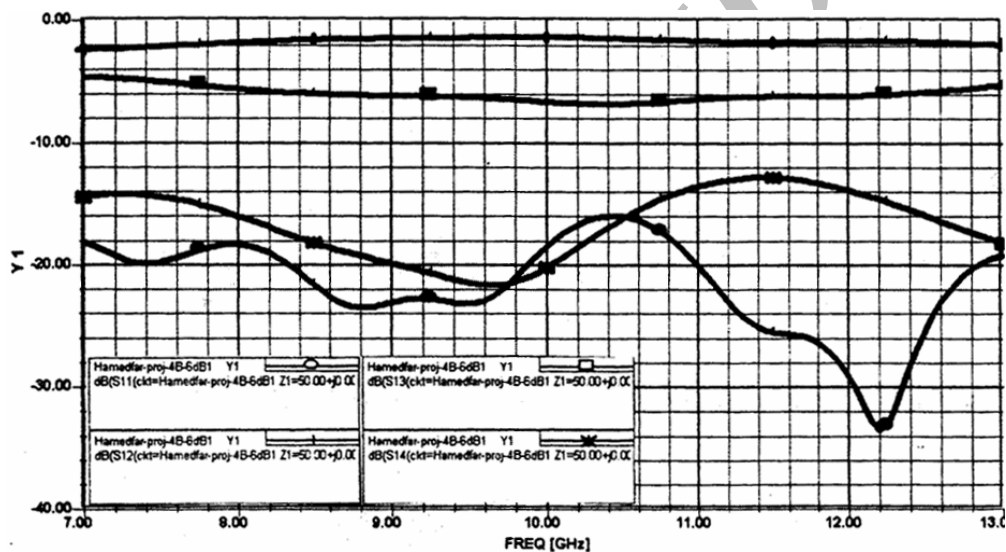
خطها و شاخه‌ها دارد، که باید به نحو مقتضی داده شود و الگوریتم آغاز به طراحی پيوننده کند و سپس بهینه‌سازی را انجام دهد. این مقادیر اولیه را می‌توانیم از مدل‌های "کرشنینگ" و "جانسن" و "کوبایاشی" به دست آوریم. یک مجموعه منحنی‌های مستخرج از این دو مدل، اندازه امپدانس مشخصه میکرواستریپ را نسبت به فرکانس با پارامتر پهنای نوار (W/h) در شکل‌های ۴ و ۵ به دست می‌دهد. دو مدل "کرشنینگ" و "جانسن" و "کوبایاشی" در شکل ۶ مقایسه شده‌اند و اندازه ϵ_{eff} را نسبت به فرکانس با پارامتر (W/h) رسم می‌کند.

اگرچه روش پیشنهادی می‌تواند تلفات عایقی زیرلایه و تلفات هدایتی میکرواستریپ را بسهولت منظور کند، ولی برای سادگی تدوین روش عددی و نوشتن نرم‌افزار برای برنامه‌های کامپیوتري، این تلفات در مقاله حاضر منظور نشده است. در هر حال، فرمولهای مربوط به تلفات را می‌توان بدون پیچیدگی در الگوریتمها به حساب آورد.

اصلًا، روش عددی کمترین مربعات نیاز به مقادیر اولیه متغیرها دارد. الگوریتم طراحی پيوننده خط شاخه‌ای نیز نیاز به مقادیر اولیه پهنای نوار هادی خطها و شاخه‌ها (یا بطور معادل امپدانس‌های مشخصه) و نیز طول



شکل ۱۴: نتایج تحلیل مثال شکل ۱۲ توسط .Serenade



شکل ۱۵: نتایج تحلیل مثال شکل ۱۳ توسط .Serenade

خروجی پیوننده مشخص کرده و به دست آورد. برنامه کامپیوتری این روش طراحی پیوننده خط شاخه‌ای سهولت نوشه می‌شود. مثالهای متعدد طراحی نشان داده است که عملکرد پیوننده به طول خطوط و شاخه‌ها حساس است و پاسخ مطلوب پیوننده حول فرکانسی که طول خطوط و شاخه‌ها در حدود ربع طول موج است، قرار می‌گیرد. همچنین مشاهده می‌شود که پیوننده خط شاخه‌ای نسبتاً باریک باند می‌باشد و پهنای باندش را نمی‌توان به سادگی افزایش داد.

پیوست الف

معادلات (۱۱) و (۱۲) را در اینجا برای سهولت مراجعه به دست می‌آوریم [۴۱]. شبکه‌ای دو دهانه‌ای را در نظر بگیرید. در دهانه ورودی ۱، ولتاژ تابش و منعکسه به ترتیب V_1^+ و V_1^- بوده و ضریب انعکاس ورودی Γ_{in} است. در دهانه خروجی ۲، ولتاژهای تابش و منعکسه، به ترتیب V_2^+ و V_2^- است. امپدانس مشخصه خط خروجی Z_2 بوده و امپدانس بار Z_L به خروجی وصل شده است. ضریب انعکاس بار Γ_L است. ولتاژهای منعکسه بر حسب پارامترهای پراکندگی و ولتاژهای تابش عبارتند از:

۴- نتیجه‌گیری

روش عددی کمترین مربعات را می‌توان برای تحلیل و طراحی مسئله آتن‌ها و ابزارهای میکروویو به کار برد. قبلاً این روش برای تحلیل مسئله پیوندگاه موج‌برها به کار رفته است. موضوع مقاله حاضر، طراحی پیوننده خط شاخه‌ای است که سابقه‌ای در مراجع ندارد. الگوریتم ارائه شده در این مقاله بر مبنای کمترین مربعات، یک پیوننده خط شاخه‌ای را برای هر مجموعه مقادیر اولیه (یعنی پهنای و طول اختیاری خطها و شاخه‌ها در یک پهنای باند داده شده) طراحی می‌کند. پس از این طراحی اولیه، بهینه‌سازی پیوننده برای بهبود مشخصات آن، با تغییر پهنای خطها و شاخه‌ها و نیز طول شان پی در پی انجام می‌گیرد.

روش عددی پیشنهادی برای طراحی پیوننده خط شاخه‌ای بر مبنای روش کمترین مربعات امکان تعیین اندازه بهینه پهنای نوار میکرواستریپ و نیز طول خطها و شاخه‌های پیوننده را برای عملکرد مطلوب در یک پهنای باند فرکانسی تعیین شده همراه با تطبیق امپدانس منبع و بار به دست می‌دهد. در این روش اثر پاشندگی یعنی بستگی ثابت دی‌الکتریک و امپدانس مشخصه به فرکانس توسط مدل‌های پاشندگی معمول بسهولت منظور می‌شود. نسبتهای مختلف تقسیم توان را می‌توان بین دهانه‌های

$$I_1 = I_1^+ + I_1^- = \frac{1}{Z_1} (V_1^+ - V_1^-) \quad (\text{ب-۵})$$

$$I_2 = -I_2^+ + I_2^- = \frac{1}{Z_2} (-V_2^+ + V_2^-) \quad (\text{ب-۶})$$

توجه کنید که ولتاژها و جریانها بهنجار شده نیستند. معادلات (ب-۵) تا (ب-۸) را در معادلات (ب-۱) و (ب-۲) جایگزین می‌کنیم.

$V_1^- - (A + Y_1 B)V_2^- = -V_1^+ + (A - Y_1 B)V_2^+ \quad (\text{ب-۹})$

$V_1^- + (C + Y_1 D)V_2^- Z_1 = V_1^+ - (C - Y_1 D)Z_1 V_2^+ \quad (\text{ب-۱۰})$

ولتاژهای منعکسه از دو دهانه یعنی V_1^- و V_2^- را از حل هم‌zman دو معادله (ب-۹) و (ب-۱۰) به دست می‌آوریم. بالاخره، پارامترهای پراکندگی تعیین می‌شود.

$$S_{11} = \frac{V_1^-}{V_1^+} \Big|_{V_2^+ = 0} = \frac{A + Y_1 B - Z_1 C - Y_1 Z_1 D}{\Delta} \quad (\text{ب-۱۱})$$

$$S_{12} = \frac{V_1^-}{V_1^+} \Big|_{V_2^+ = 0} = \frac{2(AD - BC)Z_1 Y_1}{\Delta} \quad (\text{ب-۱۲})$$

$$S_{21} = \frac{V_2^-}{V_2^+} \Big|_{V_1^+ = 0} = \frac{2}{\Delta} \quad (\text{ب-۱۳})$$

$$S_{22} = \frac{V_2^-}{V_2^+} \Big|_{V_1^+ = 0} = \frac{-A + Y_1 B - Z_1 C - Z_1 Y_1 D}{\Delta} \quad (\text{ب-۱۴})$$

در اینجا

$$\Delta = A + Y_1 B + Z_1 C + Z_1 Y_1 D \quad (\text{ب-۱۵})$$

مراجع

- [1] D. K. Paul, et al., "Broadband branchline coupler for S band," *Electronics Lett.*, vol. 27, no. 15, pp. 1318-1319, 18th Jul. 1991.
- [2] R. Levy, "A guide to the practical application of Chebyshev functions to the design of microwave components," in *Proc. IEE, C*, vol. 106, no. 6, pp. 193-199, Jun. 1959.
- [3] P. A. Rizzi, *Microwave Eng., Passive Circuits*, Englewood Cliffs, NJ: Prentice-Hall, 1988.
- [4] D. M. Pozar, *Microwave Engineering*, 2nd Ed. New York: Wiley, p. 379, 1998.
- [5] R. Mongia, I. Bahl, and P. Bhartia, *RF and Microwave Coupled-Line Circuits*, Norwood, pp. 90-97, MA: Artech House, 1999.
- [6] G. L. Montgomery, L. Young, and E. M. T. Jones, *Microwave Filters, Impedance-Matching Networks and Coupling Structures*. New York: McGraw-Hill, 1964. (Reprinted by Artech House, Norwood, MA, 1980.)
- [7] T. C. Edwards, *Foundations for Microstrip Circuit Design*, 2nd Ed., New York: Wiley, 1992.
- [8] B. C. Wadell, *Transmission Line Design Data*. Norwood, MA: Artech House, 1991.
- [9] E. H. Fooks and R. A. Zakarevicius, *Microwave Engineering Using Microstrip Circuits*. Englewood Cliffs, p. 109, NJ: Prentice-Hall, 1990.
- [10] J. Reed and G. Wheeler, "A method of analysis of symmetrical four port network," *IEEE Trans. Microwave Theory Tech.*, vol. 4, no. 10, pp. 246-252, Oct. 1956.
- [11] R. Levy, "Directional couplers," *Advances in Microwaves*, vol. 1, pp. 115-209, L. Young, Ed., New York: Academic, 1966,
- [12] W. E. Caswell and R. F. Schwartz, "The directional coupler- 1966," *IEEE Trans. Microwave Theory Tech.*, vol. 15, no. 2, pp. 120-123, Feb. 1967.

$$V_1^- = S_{11} V_1^+ + S_{12} V_2^+ \quad (\text{الف-۱})$$

$$V_2^- = S_{21} V_1^+ + S_{22} V_2^+ \quad (\text{الف-۲})$$

و ضریب انعکاس بار در دهانه خروجی عبارتست از:

$$\Gamma_L = \frac{V_2^+}{V_2^-} = \frac{Z_L - Z_2}{Z_L + Z_2} = \frac{(Z_L/Z_2) - 1}{(Z_L/Z_2) + 1} = \frac{\bar{Z}_L - 1}{\bar{Z}_L + 1} \quad (\text{الف-۳})$$

معادله (الف-۳) را در معادلات (الف-۱) و (الف-۲) جایگزین می‌کنیم.

$$V_1^- = S_{11} V_1^+ + S_{12} \Gamma_L V_2^- \quad (\text{الف-۴})$$

$$V_2^- = S_{21} V_1^+ + S_{22} \Gamma_L V_2^- \quad (\text{الف-۵})$$

پس از معادله (الف-۵) داریم:

$$V_2^- = \frac{S_{21}}{1 - S_{22} \Gamma_L} V_1^+ \quad (\text{الف-۶})$$

و سپس معادله (الف-۶) را در معادله (الف-۴) جایگزین می‌کنیم و ضریب انعکاس در دهانه ورودی شبکه را به دست می‌آوریم.

$$\Gamma_{in} = \frac{V_2^-}{V_2^+} = S_{11} + \frac{S_{12} S_{21} \Gamma_L}{1 - S_{22} \Gamma_L} \quad (\text{الف-۷})$$

که همان معادله (۱۱) در متن مقاله است. بالاخره از معادله (الف-۶) نیز ضریب انتقال شبکه دو دهانه‌ای را به دست می‌آوریم:

$$T = \frac{V_2^-}{V_2^+} = \frac{S_{21}}{1 - S_{22} \Gamma_L}$$

که همان معادله (۱۲) در متن مقاله است.

پیوست ب

معادلات (۱۴) تا (۱۸) را در اینجا برای سهولت مراجعه به دست می‌آوریم [۵]. شبکه‌ای دو دهانه‌ای را با امپدانس خطوط ورودی Z_1 و خروجی Z_2 در نظر بگیرید. ادمیتانس خطوط ورودی $Y_1 = 1/Z_1$ و خروجی $Y_2 = 1/Z_2$ است. ولتاژ و جریان دهانه ورودی را بر حسب ولتاژ و جریان دهانه خروجی با استفاده از پارامترهای ABCD می‌نویسیم:

$$V_1 = AV_2 + BI_2 \quad (\text{ب-۱})$$

$$I_1 = CV_2 + DI_2 \quad (\text{ب-۲})$$

ولتاژهای منعکسه از دهانه‌های ورودی و خروجی را بر حسب ولتاژهای تابش بر آنها با استفاده از پارامترهای پراکندگی (S) می‌نویسیم:

$$V_1^- = S_{11} V_1^+ + S_{12} V_2^+ \quad (\text{ب-۳})$$

$$V_2^- = S_{21} V_1^+ + S_{22} V_2^+ \quad (\text{ب-۴})$$

ولتاژهای کل در دو دهانه ورودی و خروجی عبارتند از:

$$V_1 = V_1^+ + V_1^- \quad (\text{ب-۵})$$

$$V_2 = V_2^+ + V_2^- \quad (\text{ب-۶})$$

جریانهای کل در آنها عبارتند از:

- [37] A. Ashoka "Practical realization of difficult microstrip line hybrid couplers and power dividers," in *Proc. IEEE MTT- S Int'l Microwave Symp. Digest*, pp. 273-276, 1992.
- [38] E. Hammerstad and O. Jenson, "Accurate models for microstrip computer – aided design," in *Proc. IEEE MTT- S Int'l Microwave Symp. Dig.*, pp. 407-409, 1980.
- [39] M. Kobayashi, "A sispersion formula satisfying recent requiemts in microstrip CAD," *IEEE Trans. Microwave Theory Tech.*, vol. 36, no. 8, pp. 1246-1250, Aug. 1988.
- [40] M. Kirschning and R. H. Jansen, "Accurate model for effective dielectric constant of microstrip and validity up to millimeter- wave frequencies," *Electron Lett.*, vol. 18, no. 3, pp. 272-273, 18th Mar. 1982.
- [41] R. E. Collin, *Foundations for Microwave Engineering*, p. 254, Second Edition, p. 254, New York: McGraw-Hill, 1990

همایون عربی دانشنامه کارشناسی مهندسی برق را در سال ۱۳۴۶ از دانشگاه آمریکائی بیروت، لبنان، دانشنامه‌های کارشناسی ارشد و دکتری را به ترتیب در سالهای ۱۳۴۸ و ۱۳۵۲ از دانشگاه سیراکیوز، ایالت نیویورک، آمریکا اخذ کرد. از سال ۱۳۵۲ تا ۱۳۵۳ به عنوان استادیار در دانشکده برق، دانشگاه صنعتی خواجه نصیرالدین طوسی تدریس کرد. از سال ۱۳۵۳ در بکان مخابرات صنایع الکترونیک ایران در شیراز به عنوان مهندس سیستم، سرپرست و رئیس بخش مهندسی سیستم و مشاور فنی یکان مخابرات در زمینه سیستمهای مخابرات HF/VHF/UHF فعالیت کرد. از سال ۱۳۶۳ تا ۱۳۶۴ به عنوان کارشناس فنی در قسمت مهندسی پشتیبانی مجتمع صنایع دفاع اصفهان کار کرد. در سال ۱۳۶۴ به عنوان استادیار به دانشکده مهندسی برق، دانشگاه علم و صنعت ایران منتقل شد. در سال ۱۳۷۳ به دانشیاری و در سال ۱۳۷۸ به استادی ارتقاء یافت. فعالیت آموزشی ایشان شامل تدریس دروس مختلف مهندسی الکترومغناطیس در گرایش میدانها و امواج گروه مخابرات می‌باشد. در یک دوره دو ساله به عنوان سرپرست گروه مخابرات انجام وظیفه کرد. سرپرستی پژوهش‌های کارشناسی، کارشناسی ارشد و دکتری را بر عهده دارد. کتب مختلفی را تالیف و ترجمه کرده است. مانند: آشنایی با اسلام، الکترومغناطیس جلد اول کتریسیته ساکن، جلد دوم مغناطیس ساکن، میدانها و امواج، تحلیل و طراحی آتن (به عنوان کتاب سال جمهوری اسلامی ایران در سال ۱۳۷۵ انتخاب شد)، میدانهای الکترومغناطیسی متناوب، و غیره. فعالیت پژوهشی ایشان در زمینه روش‌های عددی برای تحلیل و طراحی آتشها، ایزارهای میکروویو، انتشار امواج رادیویی و غیره می‌باشد. یکی از پژوهش‌های تحقیقاتی ایشان در سال ۱۳۸۰ به عنوان طرح برگزیده دانشگاه علم و صنعت ایران برگزیده شد. پژوهش‌های متعددی را در صنعت و دانشگاه اجراء و تکمیل کرده است. بیش از هفتاد مقاله علمی در مجلات و کنفرانسهای بین‌المللی ارائه نموده است. عضو ارشد انجمن مهندسین برق و الکترونیک (IEEE) است. در تابستان ۱۳۸۲ مدت دو ماه را به عنوان استاد مدعو در دانشگاه Tsukuba ژاپن گذراند.

جمال حامد فروردنه کارشناسی الکترونیک را در سال ۱۳۶۶ در دانشگاه صنعتی امیرکبیر به پایان رسانید و در سال ۱۳۷۱ از دوره کارشناسی الکترونیک دانشگاه آزاد اسلامی واحد جنوب تهران فارغ اتحصیل گردید. او دانشنامه کارشناسی ارشد مخابرات را در سال ۱۳۷۹ از دانشگاه علم و صنعت ایران اخذ کرد. در حال حاضر ایشان به عنوان کارشناس فنی شرکت ایران خودرو در زمینه نصب، نگهداری و تعمیرات دستگاههای NC، CNC و CMM به فعالیت اشتغال دارد.

- [13] S. B. Cohn and R. Levy, "History of microwave passive components with particular attention to directional couplers," *IEEE Trans. Microwave Theory Tech.*, vol. 32, no. 9, pp. 1045-1054, Sep. 1984.
- [14] B. M. Oliver, "Directional electromagnetic couplers," in *Proc. IEEE*, vol. 42, no. 11, pp. 1986-1992, Nov. 1954.
- [15] J. Reed, "The muliple branch waveguide coupler," *IEEE Trans. Microwave Theory Tech.*, vol. 6, no. 10, pp. 393-403, Oct. 1958.
- [16] P. D. Lomer and J. W. Crompton, "A new form of hybrid junction for microwave frequencies," in *Proc. IEE, B*, vol. 104, no. 5, pp. 261-264, May 1957.
- [17] D. A. Pierre, *Optimization Theory and Applications*. New York: Wiley, 1969.
- [18] L. Young, "Synchronous branch-guide directional couplers for low and high power applications," *IEEE Trans. Microwave Theory Tech.*, vol. 10, no. 11, pp. 459-475, Nov. 1962.
- [19] K. G. Patterson, "A method for accurate design of a broadband multibranch waveguide coupler," *IEEE Trans. Microwave Theory Tech.*, vol. 7, no. 11, pp. 466-473, Nov. 1962.
- [20] R. Levy and L. F. Lind, "Synthesis of symmetrical branch- guide directional couplers," *IEEE Trans. Microwave Theory Tech.*, vol. 16, no. 10, pp. 80-89, Oct. 1959.
- [21] Y. Chen Ho, "Transform impedance with a branchline coupler," *Microwaves*, vol. 15, no. 5, pp. 47-52, May 1976.
- [22] M. Muraguchi, T. Yukitake, and Y. Natio, "Optimum design of 3-dB branch- line couplers using microstrip lines," *IEEE Trans. Microwave Theory Tech.*, vol. 31, no. 8, pp. 674-678, Aug. 1983.
- [23] J. W. Gipprich, "A new class of branch- line directional couplers," in *Proc. IEEE MTT-S Int'l Microwave Symp. Dig.*, pp. 589-592, 1993.
- [24] T. Hirota, A. Minakawa, and M. Muraguchi, "Reduced- size branch-line and rat- race hybrids for unipolar MMICS," *IEEE Trans. Microwave Theory Tech.*, vol. 38, no. 3, pp. 270-275, Mar. 1990.
- [25] T. Anada, J. P. Hsu, and T. Okoshi, "New synthesis method for a branch- line 3dB hybrid: a hybrid approach comprising planar and transmission line circuit concepts," *IEEE Trans. Microwave Theory Tech.*, vol. 39, no. 6, pp. 969-976, Jun. 1991.
- [26] M. Muraguchi, T. Yukitake, and Y. Naito, "Optimum design of 3-dB branch- line couplers using microstrip lines," *IEEE Trans. Microwave Theory Tech.*, vol. 31, no. 8, pp. 674-678, Aug. 1983.
- [27] C. Y. Lee and T. Itoh, "Full- wave analysis and design of a double- sided branch- line coupler and its complementary structure," *IEEE Trans. Microwave Theory Tech.*, vol. 43, no. 8, pp. 1895-1901, Aug. 1995.
- [28] T. Kawai and L. Ohta, "Planar- circuit- type 3-dB quadrature hybrids," *IEEE Trans. Microwave Theory Tech.*, vol. 42, no. 12, pp. 2462-2467, Dec. 1994.
- [29] C. H. Ho, L. Fan, and K. Chang, "A broad- band unipolar branch- line coupler using a coupled rectangular slotline ring," *IEEE Microwave Guided Wave Lett.*, vol. 3, no. 6, pp. 175-176, Jun. 1993.
- [30] S. Banba, T. Hasegawa, and H. Ogawa, "Multilayer MIMIC branch- line hybrid using thin dielectric layers," *IEEE Microwave Guided Wave Lett.*, vol. 1, no. 11, pp. 346-347, Nov. 1991.
- [31] M. H. Murgulescu, et al., "New small 90° hybrid coupler," *Electronics Lett.*, vol. 30, no. 16, pp. 1289-1290, 4th Aug. 1994.
- [32] D. K. Paul, et al., "Broadband branchline coupler for S band," *Electronics Lett.*, vol. 27, no. 15, pp. 1318-1319, 18th Jul. 1991.
- [33] B. Mayer, "New broadband branchline coupler," *Electronics Lett.*, vol. 26, no. 18, pp. 1477-1478, 30th Aug. 1990.
- [34] B. Mayer and R. Knochel, "Branchline- couplers with improved design flexibility and broad bandwidth," in *Proc. IEEE MTT- S Int'l Microwave Symp. Digest*, pp. 391-394, 8-10, May 1990.
- [35] F. Alessandri, et al., "Analysis of branch line coupler in suspended stripline with finite metallization thickness," in *Proc. IEEE MTT- S Int'l Microwave Symp. Digest*, pp. 1089-1092, 1993.
- [36] T. Becks, G. Grounau, and I. Wolff, "Efficient S – parameter calculation of branchline and patch couplers with the spectral domain analysis method," in *Proc. IEEE MTT- S Int'l Microwave Symp. Digest*, pp. 484-487, 1991.